

Содержание

Введение	2
1 Постановка задачи	3
2 Анализ устойчивости неизменяемой части	4
3 Синтез регулятора	6
3.1 Низкочастотный участок ЛАЧХ	6
3.2 Среднечастотный участок ЛАЧХ	7
3.3 Высокочастотный участок	7
4 Проверочный расчет	9
5 Реализация регулятора	10
6 Математическое моделирование	12

Изм.	Лист	№ докум.	Подп.	Дата	КСУИ.207.435.001 ПЗ	Лит.	Лист	Листов
Разраб.	Овчаров А.О.				ПОЯСНИТЕЛЬНАЯ ЗАПИСКА			
Пров.							1	14
Н. контр.								
Утв.								

Введение

В данной работе мы синтезируем регулятор методом коррекции ЛАЧХ. Выполняется построение желаемой ЛАЧХ разомкнутой системы на основе ЛАЧХ неизменяемой части и заданных показателей качества.

Построение желаемой характеристики разбивается на три части: низкочастотную, среднечастотную и высокочастотную. Высокочастотная часть не оказывает никакого влияния на систему. Среднечастотная и низкочастотная части влияют на время пререхоного процесса, запас устойчивости по фазе и амплитуде и соответственно на перерегулирование.

После построения желаемой ЛАЧХ системы, мы можем найти передаточную функцию регулятора, выполняющего "коррекцию" неизменяемой части системы в соответствии с заданными показателями качества.

Инв. № подл.	Подп. и дата	Взам. инв. №	Инв. № дубл.	Подп. и дата	<div>КСУИ.207.435.001 ПЗ</div>					Лист
										2
Изм	Лист	№ докум.	Подп.	Дата						

Копировал

Формат А4

1 Постановка задачи

Задан объект управления, описание которого определяется $W_{нч}(s)$ – передаточной функцией неизменяемой части системы. Структурная схема следящей системы представлена на рисунке 1.

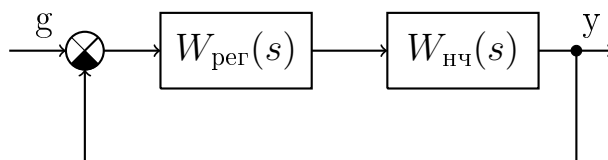


Рисунок 1 – Структурная схема проектируемой следящей системы

Требуется спроектировать регулятор, включенный последовательно с неизменяемой частью (нч) системы в контуре ошибки, с передаточной функцией $W_{рег}(s)$, который обеспечивает в замкнутой следящей системе с единичной обратной связью заданный набор показателей качества. Показатели качества указаны в таблице 1.

Таблица 1 – Данные

$W_{нч}(s)$	K	T_1	T_2	$t_{п}$	σ	g_{max}	g_{0max}	e_{max}
$\frac{K}{(T_1s + 1)(T_2s + 1)s}$	210	0.04	0.2	0.1	27	5	0.8	0.015

Здесь K - коэффициент передачи неизменяемой части системы; T_1 , T_2 - постоянные времени (сек.); $t_{п}$ - время переходного процесса (сек.); σ - перерегулирование (%); g_{max} - максимально-допустимое значение скорости (м/с); g_{0max} - максимально-допустимое значение амплитуды гармонического сигнала; e_{max} - максимально-допустимое значение установившейся ошибки,

Инв. № подл.	Подп. и дата	Взам. инв. №	Инв. № дубл.	Подп. и дата	Таблица 1 – Данные				
Изм	Лист	№ докум.	Подп.	Дата	КСУИ.207.435.001 ПЗ				Лист
									3

2 Анализ устойчивости неизменяемой части

Неизменяемая часть НЧ представлена передаточной функцией:

$$W_{\text{нч}} = \frac{210}{(0.04s + 1)(0.2s + 1)s} = \frac{210}{0.008s^3 + 0.24s^2 + s} \quad (1)$$

Также найдем полюса передаточной функции (1) для оценки устойчивости системы, они представлены ниже:

$$p_1 = 0 \qquad p_2 = -25 \qquad p_3 = -5$$

Соответственно по корневому критерию устойчивости система находится на границе устойчивости. Переходной процесс при нулевом входном воздействии и ненулевых начальных условиях ($y(0) = 1$) представлен на рисунке 2.

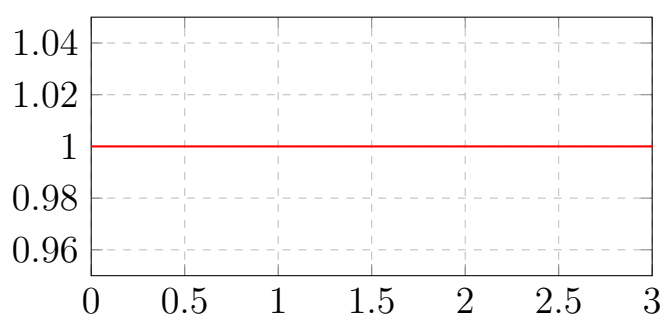


Рисунок 2 – Переходная функция

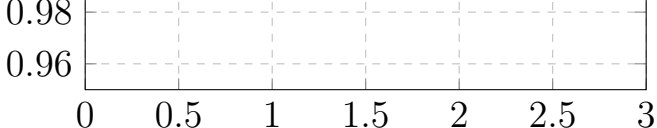
Как видно из рисунка 2 и полюсов системы (1) системы находится на границе устойчивости нейтрального типа. Давайте замкнем единичной отрицательной обратной связью систему и проведем ее анализ.

Передаточная функция замкнутой системы выглядит следующим образом:

$$W(s) = \frac{W_{\text{нч}}}{W_{\text{нч}} + 1} = \frac{210}{(0.04s + 1)(0.2s + 1)s + 210}$$

Раскрыв скобки получм:

$$W(s) = \frac{210}{0.008s^3 + 0.24s^2 + s + 210} \quad (2)$$

Инв. № подл.	Подп. и дата	Взам. инв. №	Инв. № дубл.	Подп. и дата	
Рисунок 2 – Переходная функция					
<p>Как видно из рисунка 2 и полюсов системы (1) системы находится на границе устойчивости нейтрального типа. Давайте замкнем единичной отрицательной обратной связью систему и проведен ее анализ.</p> <p>Передаточная функция замкнутой системы выглядит следующим образом:</p> $W(s) = \frac{W_{нч}}{W_{нч} + 1} = \frac{210}{(0.04s + 1)(0.2s + 1)s + 210}$ <p>Раскрыв скобки получм:</p> $W(s) = \frac{210}{0.008s^3 + 0.24s^2 + s + 210} \tag{2}$					
Изм	Лист	№ докум.	Подп.	Дата	КСУИ.207.435.001 ПЗ
					4

Для анализа устойчивости замкнутой системы построим матрицу гурвица на основании характеристического уравнения.

$$H_3 = \begin{bmatrix} 0.24 & 210 & 0 \\ 0.008 & 1 & 0 \\ 0 & 0.24 & 210 \end{bmatrix} \quad (3)$$

Найдем главные миноры данной матрицы и воспользуемся критерием Гурвица.

$$\Delta_1 = 0.24 > 0$$

$$\Delta_2 = -1.44 < 0$$

$$\Delta_3 = -302.4 < 0$$

В соответствии с критерием гурвица, поскольку система имеет отрицательные миноры, она не устойчива. Это также можно увидеть, получив переходную характеристику замкнутой системы, которая изображена ниже.

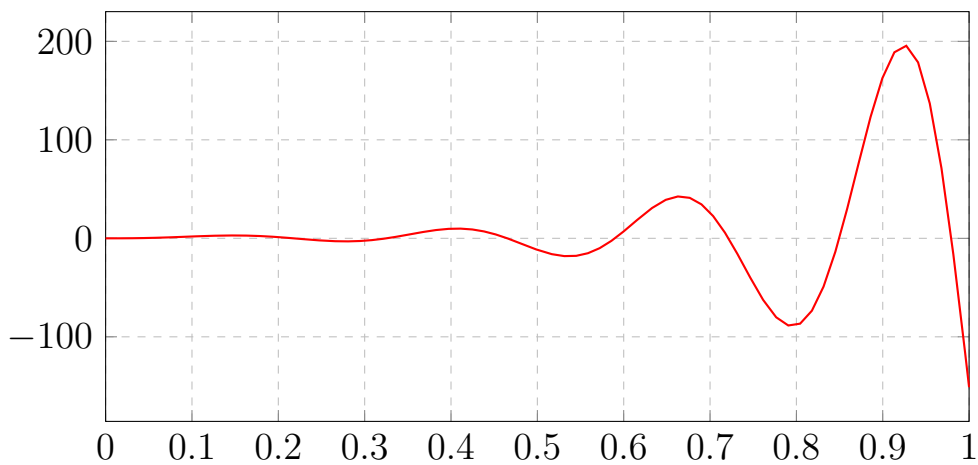


Рисунок 3 – Переходной процесс замкнутой системы

Инв. № подл.	Подп. и дата		Инв. № дубл.		Взам. инв. №		Подп. и дата		Инв. № подл.			
Изм.	Лист	№ докум.		Подп.	Дата	КСУИ.207.435.001 ПЗ						Лист
												5

Time (x)	Value (y)
0.0	0
0.1	5
0.2	10
0.3	0
0.4	10
0.5	-10
0.6	20
0.7	40
0.8	-80
0.9	180
1.0	-150

Рисунок 3 – Переходной процесс замкнутой системы

3 Синтез регулятора

Регулятор синтезируется методом коррекции ЛАЧХ, для чего нужно построить желаемую ЛАЧХ $L_{\text{ж}}$ и по ней найти желаемую передаточную функцию $W_{\text{ж}}$. Данная функция ПФ является произведением ПФ регулятора и неизменяемой части (выражение 2). Из него можем выразить выражение для ПФ регулятора (выражение 3).

$$W_{\text{ж}} = W_{\text{рег}} W_{\text{нч}} \quad (4)$$

$$W_{\text{рег}} = \frac{W_{\text{ж}}}{W_{\text{нч}}} \quad (5)$$

3.1 Низкочастотный участок ЛАЧХ

Для системы с астатизмом первого порядка первая низкочастотная асимптота проводится так, чтобы она имела наклон -20 дБ/дек и пересекала желаемую добротность по скорости K_d . При этом вся низкочастотная часть не должна пересекать запрещенную зону, которая формируется из желаемой добротности по скорости K_v и критической частоты гармонического сигнала ω_k .

Давайте найдем все необходимые параметры запретной зоны:

$$K_v = \frac{g_{\text{max}}}{e_{\text{max}}} \approx 333.33 \quad (6)$$

$$\omega_k = \frac{g_{\text{max}}}{g_{0\text{max}}} = 6.25 \quad (7)$$

Для упрощения регулятора можно выбрать сопрягающую частоту $\omega_1 = 1/T_2 = 5$, тогда необходимо увеличить желаемую добротность по скорости. Давайте найдем K_d , учитывая ω_1 .

$$K_d = K_v \omega_k T_2 \approx 416.67 \quad (8)$$

Инов. № подл.	Подп. и дата	Взам. инв. №	Инов. № дубл.	Подп. и дата	КСУИ.207.435.001 ПЗ				Лист
									6
Изм	Лист	№ докум.	Подп.	Дата					

3.2 Среднечастотный участок ЛАЧХ

Среднечастотный участок желаемой ЛАЧХ образуется асимптотой с наклоном -20 дБ/дек, проводимой так, чтобы она пересекала ось частот при ω_c . Этот участок проводится влево и вправо до достижения модулей, равных L_1 и L_2 . Затем производится сопряжение среднечастотного участка с низкочастотными асимптотами и высокочастотной частью. Для нахождения частоты среза ω_c необходимо найти частоту положительности ω_{Π} , которую можно найти соответственно из диаграмм в учебнике Бесекерского (выражение 5, 6).

$$\omega_{\Pi}|_{\sigma=27\%} = \frac{4\pi}{t_{\Pi}} \approx 125.66 \frac{1}{c} \quad (9)$$

$$\omega_c = 0.9\omega_{\Pi} \approx 113.1 \frac{1}{c} \quad (10)$$

Амплитуды L_1 и L_2 также находятся по диаграммам в учебнике Бесекерского исходя из заданных показателей качества. В нашем случае они имеют следующие значения:

$$L_1 = 18 \text{ дБ}$$

$$L_2 = -18 \text{ дБ}$$

Для качественного выполнения заданных показателей качества среднечастотная асимптота может превышать данные значения по модулю, но не наоборот.

Для сопряжения среднечастотного участка и низкочастотного строится прямая, имеющая наклон $40 - 60$ дБ/дек. Эта прямая определяется сопрягающими частотами ω_1 , ω_2 . Из пересечения среднечастотной асимптоты и сопрягающей можем найти ω_2 .

$$\omega_2 = \sqrt{\frac{K_d w_1^2}{w_c}} \approx 9.6 \quad (11)$$

3.3 Высокочастотный участок

Данный участок не вносит большого вклада в показатели качества, поэтому его выбирают максимально удобным для составления регулятора. Теперь

Инв. № подл.	Подп. и дата	Взам. инв. №	Инв. № дубл.	Подп. и дата						
					КСУИ.207.435.001 ПЗ					Лист
										7
Изм.	Лист	№ докум.	Подп.	Дата						

только осталось найти сопрягающую частоту ω_3 :

$$\omega_3 = \frac{\omega_c}{10^{L_2/20}} \approx 898.36 \frac{1}{c} \tag{12}$$

По найденным ниже параметрам можем построить желаемую ЛАЧХ, изображенную на рисунке ниже.

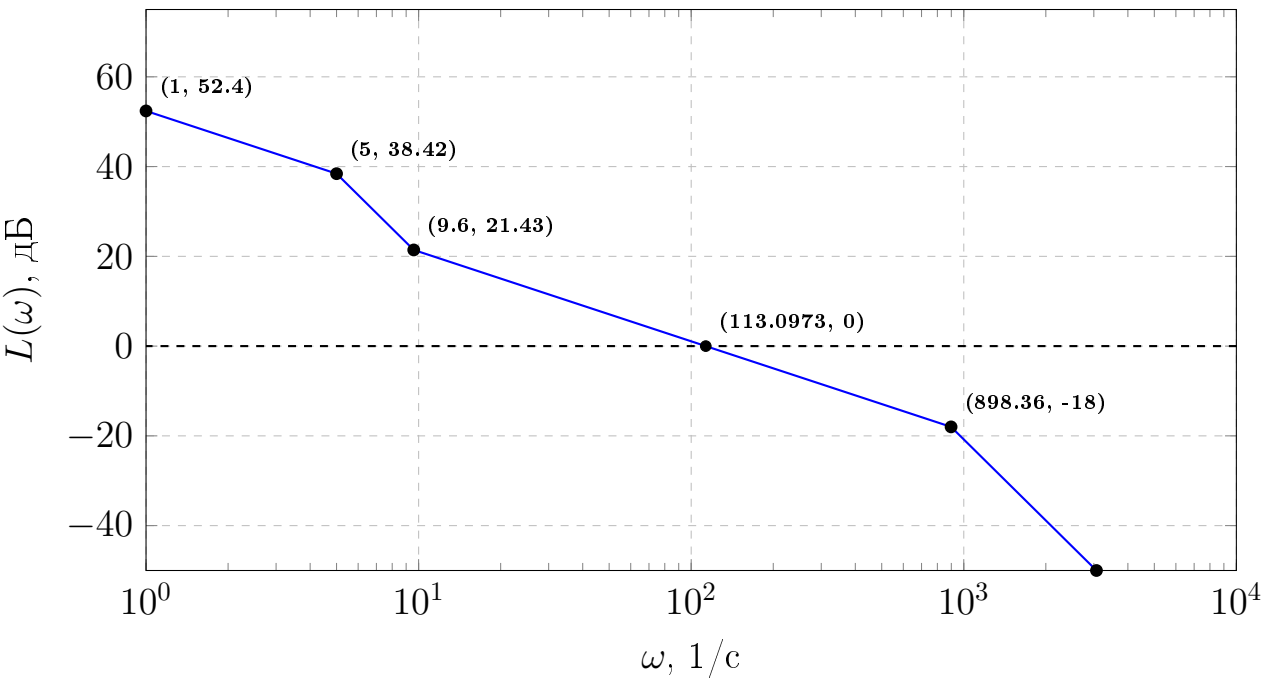


Рисунок 4 – ЛАЧХ

Теперь можем построить передаточную функцию желаемой системы:

$$W_{\text{ж}} = \frac{K_d \left(\frac{1}{\omega_2} s + 1\right)^2}{s(T_2 s + 1)^2 \left(\frac{1}{\omega_3} s + 1\right)^2} \tag{13}$$

И соответственно передаточную функцию регулятора:

$$W_{\text{рег}} = \frac{K_d/K \left(\frac{1}{\omega_2} s + 1\right)^2 (T_1 s + 1)}{\left(\frac{1}{\omega_3} s + 1\right)^2 (T_2 s + 1)} \tag{14}$$

Инов. № подл.	Подп. и дата
Взам. инв. №	Инов. № дубл.
Подп. и дата	Подп. и дата
Инов. № подл.	Инов. № дубл.

4 Проверочный расчет

Выполним проверочный расчет на заданные показатели качества. А именно посчитаем предельное значение ошибки при линейно возрастающем воздействии со скоростью g_{max} .

$$\begin{aligned}\varepsilon_1 &= \frac{1}{1 + W_{ж}(s)} G(s) \Big|_{s \rightarrow 0} = \\ &= \frac{s(T_2 s + 1)^2 \left(\frac{1}{\omega_3} s + 1\right)^2}{s(T_2 s + 1)^2 \left(\frac{1}{\omega_3} s + 1\right)^2 + K_d \left(\frac{1}{\omega_2} s + 1\right)^2} \frac{g_{max}}{s} \Big|_{s \rightarrow 0} = \frac{g_{max}}{K_d} = 0.012 < e_{max}\end{aligned}$$

Теперь нужно убедиться, что разомкнутая система обладает достаточным запасом устойчивости по фазе и амплитуде.

$$\mu = 180 - 90 - 2 \operatorname{arctg} \frac{\omega_c}{\omega_3} - 2 \operatorname{arctg} \omega_c T_2 + 2 \operatorname{arctg} \frac{\omega_c}{\omega_2} \approx 90^\circ \quad (15)$$

$$L = 23.8 \text{ дБ} \quad (16)$$

где μ - запас по фазе, L - запас по амплитуде при частоте $\omega = 889 \text{ 1/с}$.

Осталось проверить качество выполнения перерегулирования и

Инв. № подл.	Подп. и дата	Взам. инв. №	Инв. № дубл.	Подп. и дата					
Изм	Лист	№ докум.	Подп.	Дата	КСУИ.207.435.001 ПЗ				
					Лист				
					9				

5 Реализация регулятора

На рисунке ниже представлена электрическая схема передаточной функции регулятора.

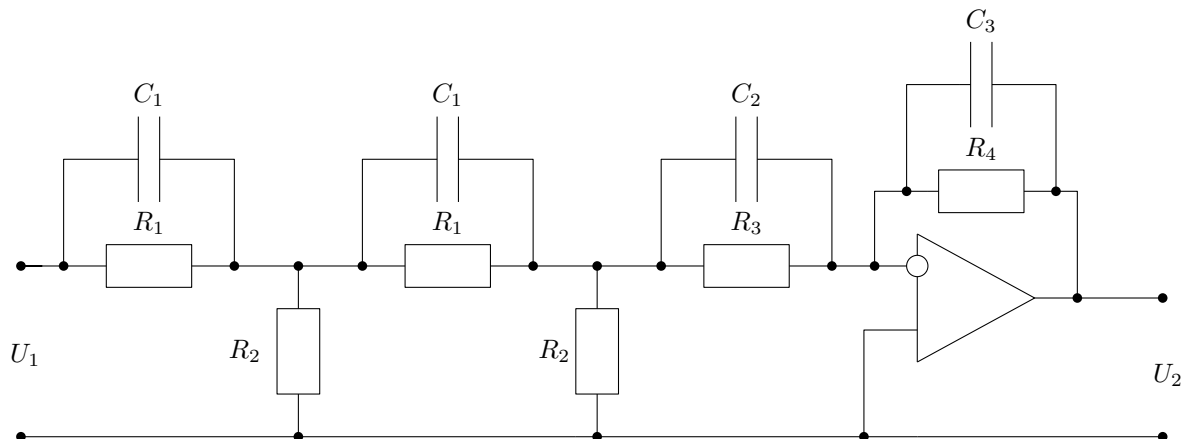


Рисунок 5 – Принципиальная схема регулятора

Давайте покажем, что указанная схема действительно представляет регулятор. Условно схему можно разделить на 3 части. Первые две идентичны. Давайте составим передаточную функцию первой части ($U_1 - R_1 || C_1 - R_2 - U_1$), тогда не сложно будет представить и функцию всей системы. Выпишем первое и второе правила Кирхгофа:

$$\begin{cases} I_{R_2} = I_{R_1} + C_1 \frac{dU_{C_1}}{dt} \\ I_{R_1} R_1 = U_{C_1} \\ U_1 = U_{C_1} + U_{R_2} \end{cases} \Leftrightarrow \begin{cases} I_{R_2} = \frac{U_{C_1}}{R_1} + C_1 \frac{dU_{C_1}}{dt} \\ I_{R_1} = \frac{U_{C_1}}{R_1} \\ U_1 = U_{C_1} + I_{R_2} R_2 \\ U_{R_2} = I_{R_2} R_2 \end{cases}$$

из полученной системы можем выразить отдельно U_1 и U_{R_2} :

$$\begin{cases} U_1 = U_{C_1} + \frac{R_2}{R_1} U_{C_1} + R_2 C_1 \frac{dU_{C_1}}{dt} \\ U_{R_2} = \frac{R_2}{R_1} U_{C_1} + R_2 C_1 \frac{dU_{C_1}}{dt} \end{cases}$$

Полученное выражение теперь представим в операторном виде:

$$\begin{cases} U_1 = \left(1 + \frac{R_2}{R_1} + R_2 C_1 p\right) U_{C_1} \\ U_{R_2} = \left(\frac{R_2}{R_1} + R_2 C_1 p\right) U_{C_1} \end{cases}$$

Инов. № дубл.	Подп. и дата					
Взам. инв. №						
Подп. и дата						
Инов. № подл.						
Изм	Лист	№ докум.	Подп.	Дата	КСУИ.207.435.001 ПЗ	
					Лист	
					10	

Остается только найти саму передаточную функцию:

$$W_1(p) = \frac{U_{R_2}}{U_1} = \frac{\frac{R_2}{R_1} + R_2 C_1 p}{1 + \frac{R_2}{R_1} + R_2 C_1 p} = \frac{\frac{R_2}{R_1 + R_2} (R_1 C_1 p + 1)}{\left(\frac{R_1 R_2}{R_1 + R_2} C_1 p + 1 \right)} \quad (17)$$

Передаточная функция $W_2(p)$ аналогична первой. Теперь рассмотрим часть, содержащую операционный усилитель. Запишем выражения для входного U_{R_2} и выходного U_2 напряжения.

$$U_{R_2} = \frac{R_3}{R_3 C_2 p + 1}$$

$$U_2 = \frac{R_4}{R_4 C_3 p + 1}$$

В итоге получи передаточную функцию:

$$W_3(p) = \frac{R_4 / R_3 (R_4 C_3 p + 1)}{R_3 C_2 p + 1}$$

Теперь можем записать итоговое выражения для передаточной функции регулятора:

$$W(p) = \frac{U_2}{U_1} = \frac{K (T_1 p + 1)^2 (T_3 p + 1)}{(T_2 p + 1)^2 (T_4 p + 1)} \quad (18)$$

$$K = \frac{R_2^2 R_4}{(R_1 + R_2)^2 R_3} \quad (19)$$

$$T_1 = R_1 C_1 \quad (20)$$

$$T_2 = \frac{R_1 R_2}{R_1 + R_2} C_1 \quad (21)$$

$$T_3 = R_4 C_3 \quad (22)$$

$$T_4 = R_3 C_2 \quad (23)$$

Поскольку в данном уравнении 6 неизвестных и 5 уравнений, зададим $C_1 = 10^{-6}$ Ф. Тогда можем найти R_1 и R_2 .

$$R_1 = \frac{T_1}{C_1} \approx 104166$$

$$R_2 = \frac{T_1 T_2}{(T_1 - T_2) C_1} = 1125$$

Инв. № подл.	Подп. и дата	Взам. инв. №	Инв. № дубл.	Подп. и дата						
					КСУИ.207.435.001 ПЗ					Лист
										11
Изм	Лист	№ докум.	Подп.	Дата						

Теперь выразим R_3 и R_4 , подставив $C_3 = 10^{-9}$ Ф.

$$R_3 = \frac{T_4}{C_2}$$

$$R_4 = \frac{T_3}{C_3} = 4 \cdot 10^7$$

Теперь подставим все в выражение (19), получим:

$$K = 22838.71C_2 \Rightarrow C_2 = 8.69 \cdot 10^{-5}$$

$$R_3 \approx 2302$$

6 Математическое моделирование

В ходе работы была построена схема моделирования полученной желаемой передаточной функции, она указана на рисунке ниже:

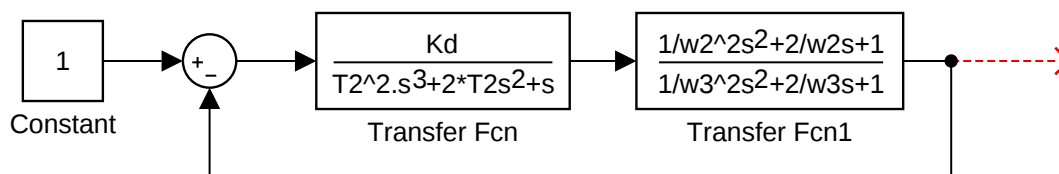


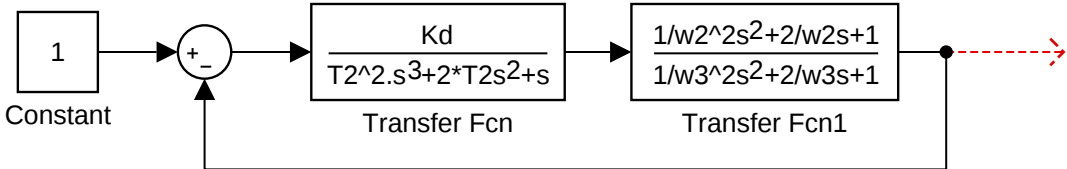
Рисунок 6 – Схема моделирования

В результате мы получили различные графики при линейно нарастающем входном воздействии и синусоидальном а также переходная функция.

Как видно из рисунка 6 были получены следующие показатели:

$$t_{\Pi} = 0.06 \text{ с}$$

$$\sigma = 6 \%$$

Инв. № подл.	Подп. и дата					
		Рисунок 6 – Схема моделирования				
		В результате мы получили различные графики при линейно нарастающем входном воздействии и синусоидальном а также переходная функция.				
		Как видно из рисунка 6 были получены следующие показатели:				
Взам. инв. №	Подп. и дата	$t_{\pi} = 0.06 \text{ с}$			$\sigma = 6 \%$	
Изм	Лист	№ докум.	Подп.	Дата	КСУИ.207.435.001 ПЗ	Лист
						12

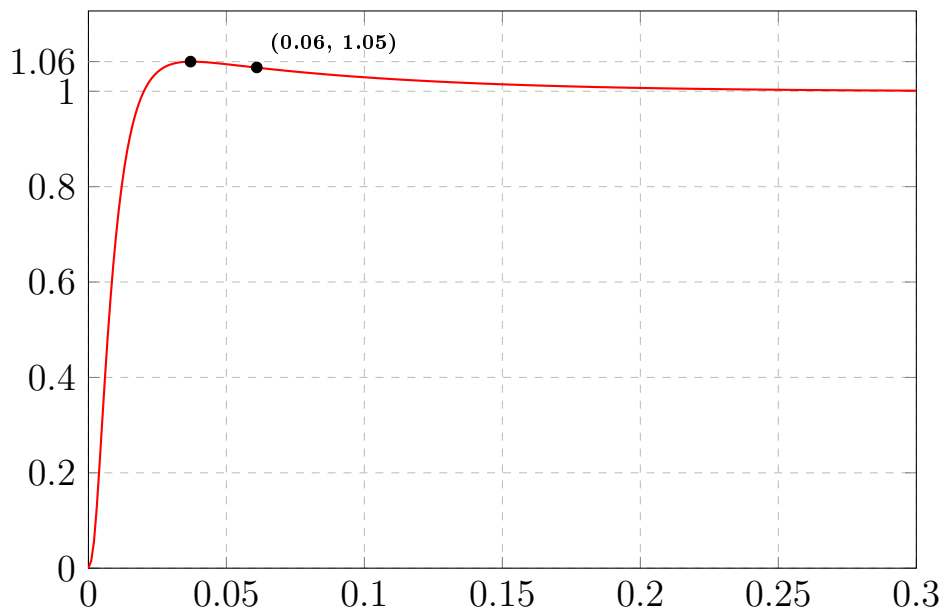


Рисунок 7 – Переходная функция

Далее на рисунке 7 представлен график при линейно нарастающем входном воздействии, здесь $\varepsilon = 0.012$, как и получилось при проверочном расчете.

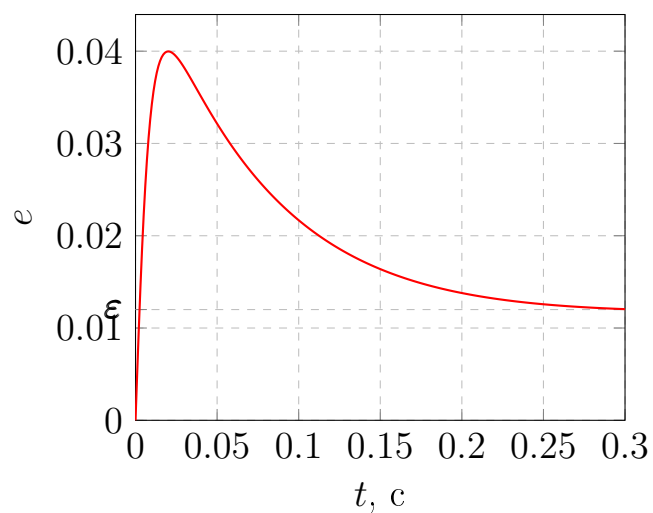
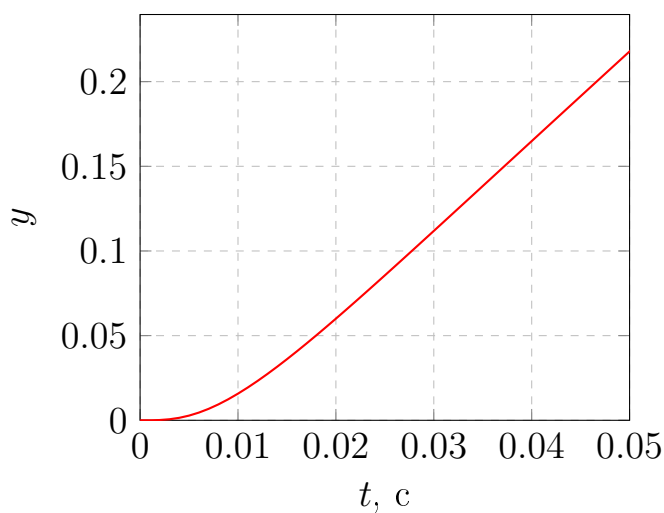


Рисунок 8 – Графики переходных процессов при $g = 5t$

Осталось рассмотреть реакцию системы на синусоидальное воздействие $g = 0.8 \sin 3t$. Как видно из рисунка 8, при синусоидальном воздействии и $\omega = 3$ ошибка меньше 0.015.

Инв. № подл.	Подп. и дата				КСУИ.207.435.001 ПЗ	Лист
	Инв. № дубл.					13
	Взам. инв. №					
	Подп. и дата					
Изм.	Лист	№ докум.	Подп.	Дата		

Рисунок 8 – Графики переходных процессов при $g = 5t$

Осталось рассмотреть реакцию системы на синусоидально воздействие $g = 0.8 \sin 3t$. Как видно из рисунка 8, при синусоидально воздействии и $\omega = 3$ ошибка меньше 0.015.

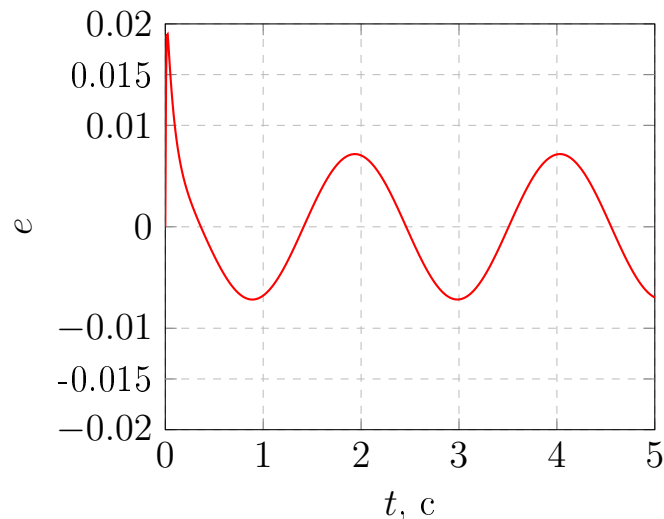
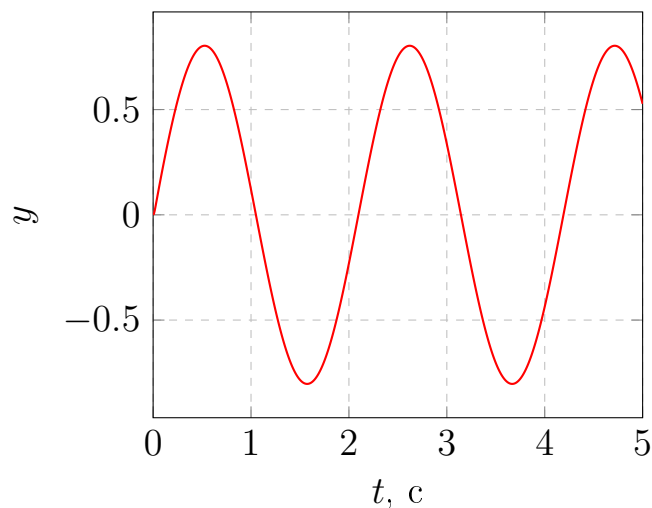


Рисунок 9 – Графики переходных процессов при $g = 0.8 \sin 3t$

Вывод

В данной работе мы синетзировали регулятор, выполняющий заданные показатели качества. Для синтеза использовался метод коррекции ЛАЧХ, придуманные Солодовниковым В. В. В данном методе ЛАЧХ неизменяемой части корректируется таким образом, чтобы при реакции на ступенчатый сигнал, показатели качества не превышали заданных значений.

Как видно в проевочных расчетах и на рисунках 6, 7 и 8 данный регулятор успешно справляется со своими задачами.

При подаче на вход гармонического сигнала, его частота, помноженная на амплитуду не должны превышать значение g_{max} .

Также мы получили электрическую схему, характеризующую передаточную функцию.

Инв. № подл.	Подп. и дата	Взам. инв. №	Инв. № дубл.	Подп. и дата	<p>корректируется таким образом, чтобы при реакции на ступенчатый сигнал, показатели качества не превышали заданных значений.</p> <p>Как видно в проевочных расчетах и на рисунках 6, 7 и 8 данный регулятор успешно справляется со своими задачами.</p> <p>При подаче на вход гармонического сигнала, его частота, помножанная на амплитуду не должны превышать значение g_{max}.</p> <p>Также мы получили электрическую схему, характеризующую передаточную функцию.</p>
Изм	Лист	№ докум.	Подп.	Дата	<div>КСУИ.207.435.001 ПЗ</div> <div>Лист 14</div>